

S.S. 78 "SARNANO - AMANDOLA"
LAVORI DI ADEGUAMENTO E/O MIGLIORAMENTO TECNICO FUNZIONALE DELLA SEZIONE STRADALE IN T.S. E POTENZIAMENTO DELLE INTERSEZIONI - 2° STRALCIO

PROGETTO DEFINITIVO

IMPRESA ESECUTRICE		GRUPPO DI LAVORO ANAS:	
 DVC divincenzodino&c			
GRUPPO DI PROGETTAZIONE		RESPONSABILE DEI LAVORI:	
(Mandataria)  S.A.G.I. s.r.l. Società per l'Ambiente, la Geologia e l'Ingegneria Via Pasubio,20 63074 San Benedetto del Tronto (AP) Tel. e Fax 0735.757580 e-mail: info@sagistudio.it PEC: info@pec.sagistudio.it		VISTO: RESPONSABILE UNICO DEL PROCEDIMENTO: Ing. Marco Mancina (ANAS S.p.A.)	
(Mandanti)     			
		PROTOCOLLO:	DATA:

N. ELABORATO: G901	CAPITOLO G – PROGETTO STRUTTURALE CAPITOLO G9 – OPERE DI SOSTEGNO E CONSOLIDAMENTI – OS.05 – OPERA SOSTEGNO C.A. Relazione di calcolo
---------------------------	---

CODICE PROGETTO			NOME FILE	REVISIONE	SCALA
PROGETTO	LIV.PROG.	ANNO	-		
<input type="text"/>	<input type="text"/>	<input type="text"/>	CODICE ELAB. <input type="text" value="T01"/> <input type="text" value="OS05"/> <input type="text" value="STR"/> <input type="text" value="RE01"/>	<input type="text" value="A"/>	-
D					
C					
B					
A	EMISSIONE		Ottobre 2023	-	-
REV.	DESCRIZIONE		DATA	REDATTO	VERIFICATO APPROVATO

Sommario

1. Normative di riferimento.....	2
2. Richiami teorici.....	3
3. Dati	7
4. Risultati.....	17
5. Dichiarazioni secondo N.T.C. 2018 (punto 10.2).....	28

1. Normative di riferimento

- Legge nr. 1086 del 05/11/1971.

Norme per la disciplina delle opere in conglomerato cementizio, normale e precompresso ed a struttura metallica.

- Legge nr. 64 del 02/02/1974.

Provvedimenti per le costruzioni con particolari prescrizioni per le zone sismiche.

- D.M. LL.PP. del 11/03/1988.

Norme tecniche riguardanti le indagini sui terreni e sulle rocce, la stabilità dei pendii naturali e delle scarpate, i criteri generali e le prescrizioni per la progettazione, l'esecuzione e il collaudo delle opere di sostegno delle terre e delle opere di fondazione.

- D.M. LL.PP. del 14/02/1992.

Norme tecniche per l'esecuzione delle opere in cemento armato normale e precompresso e per le strutture metalliche.

- D.M. 9 Gennaio 1996

Norme Tecniche per il calcolo, l'esecuzione ed il collaudo delle strutture in cemento armato normale e precompresso e per le strutture metalliche

- D.M. 16 Gennaio 1996

Norme Tecniche relative ai 'Criteri generali per la verifica di sicurezza delle costruzioni e dei carichi e sovraccarichi'

- D.M. 16 Gennaio 1996

Norme Tecniche per le costruzioni in zone sismiche

- Circolare Ministero LL.PP. 15 Ottobre 1996 N. 252 AA.GG./S.T.C.

Istruzioni per l'applicazione delle Norme Tecniche di cui al D.M. 9 Gennaio 1996

- Circolare Ministero LL.PP. 10 Aprile 1997 N. 65/AA.GG.

Istruzioni per l'applicazione delle Norme Tecniche per le costruzioni in zone sismiche di cui al D.M. 16 Gennaio 1996

- Norme Tecniche per le Costruzioni 2018 (D.M. 17 Gennaio 2018)

- Circolare C.S.LL.PP. 21/01/2019 n.7 - Istruzioni per l'applicazione dell'Aggiornamento delle Norme tecniche per le costruzioni di cui al D.M. 17 gennaio 2018

2. Richiami teorici

Il calcolo dei muri di sostegno viene eseguito secondo le seguenti fasi:

- Calcolo della spinta del terreno
- Verifica a ribaltamento
- Verifica a scorrimento del muro sul piano di posa
- Verifica della stabilità complesso fondazione terreno (carico limite)
- Verifica della stabilità globale

Se il muro è in calcestruzzo armato: Calcolo delle sollecitazioni sia del muro che della fondazione, progetto delle armature e relative verifiche dei materiali.

Se il muro è a gravità: Calcolo delle sollecitazioni sia del muro che della fondazione e verifica in diverse sezioni al ribaltamento, allo scorrimento ed allo schiacciamento.

Calcolo della spinta sul muro

Valori caratteristici e valori di calcolo

Effettuando il calcolo tramite gli Eurocodici è necessario fare la distinzione fra i parametri caratteristici ed i valori di calcolo (o di progetto) sia delle azioni che delle resistenze.

I valori di calcolo si ottengono dai valori caratteristici mediante l'applicazione di opportuni coefficienti di sicurezza parziali γ . In particolare si distinguono combinazioni di carico di tipo **A1-M1** nelle quali vengono incrementati i carichi e lasciati inalterati i parametri di resistenza del terreno e combinazioni di carico di tipo **A2-M2** nelle quali vengono ridotti i parametri di resistenza del terreno e incrementati i soli carichi variabili.

Metodo di Culmann

Il metodo di Culmann adotta le stesse ipotesi di base del metodo di Coulomb. La differenza sostanziale è che mentre Coulomb considera un terrapieno con superficie a pendenza costante e carico uniformemente distribuito (il che permette di ottenere una espressione in forma chiusa per il coefficiente di spinta) il metodo di Culmann consente di analizzare situazioni con profilo di forma generica e carichi sia concentrati che distribuiti comunque disposti. Inoltre, rispetto al metodo di Coulomb, risulta più immediato e lineare tener conto della coesione del masso spingente. Il metodo di Culmann, nato come metodo essenzialmente grafico, si è evoluto per essere trattato mediante analisi numerica (noto in questa forma come metodo del cuneo di tentativo). Come il metodo di Coulomb anche questo metodo considera una superficie di rottura rettilinea.

I passi del procedimento risolutivo sono i seguenti:

- si impone una superficie di rottura (angolo di inclinazione ρ rispetto all'orizzontale) e si considera il cuneo di spinta delimitato dalla superficie di rottura stessa, dalla parete su cui si calcola la spinta e dal profilo del terreno;
- si valutano tutte le forze agenti sul cuneo di spinta e cioè peso proprio (W), carichi sul terrapieno, resistenza per attrito e per coesione lungo la superficie di rottura (R e C) e resistenza per coesione lungo la parete (A);
- dalle equazioni di equilibrio si ricava il valore della spinta S sulla parete.

Questo processo viene iterato fino a trovare l'angolo di rottura per cui la spinta risulta massima.

La convergenza non si raggiunge se il terrapieno risulta inclinato di un angolo maggiore dell'angolo d'attrito del terreno.

Nei casi in cui è applicabile il metodo di Coulomb (profilo a monte rettilineo e carico uniformemente distribuito) i risultati ottenuti col metodo di Culmann coincidono con quelli del metodo di Coulomb.

Le pressioni sulla parete di spinta si ricavano derivando l'espressione della spinta S rispetto all'ordinata z . Noto il diagramma delle pressioni è possibile ricavare il punto di applicazione della spinta.

Spinta in presenza di falda

Nel caso in cui a monte della parete sia presente la falda il diagramma delle pressioni risulta modificato a causa della sottospinta che l'acqua esercita sul terreno. Il peso di volume del terreno al di sopra della linea di falda non subisce variazioni. Viceversa, al di sotto del livello di falda va considerato il peso di volume efficace

$$\gamma' = \gamma_{\text{sat}} - \gamma_w$$

dove γ_{sat} è il peso di volume saturo del terreno (dipendente dall'indice dei pori) e γ_w è il peso specifico dell'acqua. Quindi il diagramma delle pressioni al di sotto della linea di falda ha una pendenza minore. Al diagramma così ottenuto va sommato il diagramma triangolare legato alla pressione esercitata dall'acqua.

Spinta in presenza di sisma

Per tener conto dell'incremento di spinta dovuta al sisma si fa riferimento al metodo di Mononobe-Okabe (cui fa riferimento la Normativa Italiana).

La Normativa Italiana suggerisce di tener conto di un incremento di spinta dovuto al sisma nel modo seguente.

Detta ε l'inclinazione del terrapieno rispetto all'orizzontale e β l'inclinazione della parete rispetto alla verticale, si calcola la spinta S' considerando un'inclinazione del terrapieno e della parete pari a

$$\varepsilon' = \varepsilon + \theta \quad \beta' = \beta + \theta$$

dove $\theta = \arctg(k_h/(1 \pm k_v))$ essendo k_h il coefficiente sismico orizzontale e k_v il coefficiente sismico verticale, definito in funzione di k_h . In presenza di falda a monte, θ assume le seguenti espressioni:

Terreno a bassa permeabilità

$$\theta = \arctan\left(\frac{\gamma_{sat}}{\gamma_{sat} - \gamma_w} \frac{k_h}{1 \pm k_v}\right)$$

Terreno a permeabilità elevata

$$\theta = \arctan\left(\frac{\gamma}{\gamma_{sat} - \gamma_w} \frac{k_h}{1 \pm k_v}\right)$$

Detta S la spinta calcolata in condizioni statiche l'incremento di spinta da applicare è espresso da

$$\Delta S = AS' - S$$

dove il coefficiente A vale

$$A = \frac{\cos^2(\beta + \theta)}{\cos^2 \beta \cos \theta}$$

In presenza di falda a monte, nel coefficiente A si tiene conto dell'influenza dei pesi di volume nel calcolo di θ .

Adottando il metodo di Mononobe-Okabe per il calcolo della spinta, il coefficiente A viene posto pari a 1.

Tale incremento di spinta è applicato a metà altezza della parete di spinta nel caso di forma rettangolare del diagramma di incremento sismico, allo stesso punto di applicazione della spinta statica nel caso in cui la forma del diagramma di incremento sismico è uguale a quella del diagramma statico.

Oltre a questo incremento bisogna tener conto delle forze d'inerzia orizzontali e verticali che si destano per effetto del sisma. Tali forze vengono valutate come

$$F_{IH} = k_h W \quad F_{IV} = \pm k_v W$$

dove W è il peso del muro, del terreno soprastante la mensola di monte ed i relativi sovraccarichi e va applicata nel baricentro dei pesi. Il metodo di Culmann tiene conto automaticamente dell'incremento di spinta. Basta inserire nell'equazione risolutiva la forza d'inerzia del cuneo di spinta. La superficie di rottura nel caso di sisma risulta meno inclinata della corrispondente superficie in assenza di sisma.

Verifica alla stabilità globale

La verifica alla stabilità globale del complesso muro+terreno deve fornire un coefficiente di sicurezza non inferiore a η_g .

Viene usata la tecnica della suddivisione a strisce della superficie di scorrimento da analizzare. La superficie di scorrimento viene supposta circolare e determinata in modo tale da non avere intersezione con il profilo del muro. In presenza di pali, per ogni centro vengono analizzate 3 famiglie di superfici di scorrimento: la prima famiglia di superfici passa per tacco della fondazione, la seconda per il punto centrale della lunghezza dei pali, la terza per il piede dei pali. Si determina il minimo coefficiente di sicurezza su una maglia di centri di dimensioni 10x10 posta in prossimità della sommità del muro. Il numero di strisce è pari a 25.

Il coefficiente di sicurezza fornito da Fellenius si esprime secondo la seguente formula:

$$\eta = \frac{\sum_{i=0}^n \left[\frac{c_i b_i}{\cos \alpha_i} + (W_i \cos \alpha_i - u_i l_i) \tan \varphi_i \right]}{\sum_{i=0}^n W_i \sin \alpha_i}$$

dove n è il numero delle strisce considerate, b_i e α_i sono la larghezza e l'inclinazione della base della striscia i -esima rispetto all'orizzontale, W_i è il peso della striscia i -esima e c_i e φ_i sono le caratteristiche del terreno (coesione ed angolo di attrito) lungo la base della striscia.

Inoltre u_i ed l_i rappresentano la pressione neutra lungo la base della striscia e la lunghezza della base della striscia ($l_i = b_i / \cos \alpha_i$).

Quindi, assunto un cerchio di tentativo si suddivide in n strisce e dalla formula precedente si ricava η . Questo procedimento è eseguito per il numero di centri prefissato ed è assunto come coefficiente di sicurezza della scarpata il minimo dei coefficienti così determinati.

Analisi dei pali

Per l'analisi della capacità portante dei pali occorre determinare alcune caratteristiche del terreno in cui si va ad operare. In particolare bisogna conoscere l'angolo d'attrito ϕ e la coesione c . Per pali soggetti a carichi trasversali è necessario conoscere il modulo di reazione laterale o il modulo elastico laterale.

La capacità portante di un palo solitamente viene valutata come somma di due contributi: portata di base (o di punta) e portata per attrito laterale lungo il fusto. Cioè si assume valida l'espressione:

$$Q_t = Q_p + Q_l - W_p$$

dove:

Q_T portanza totale del palo
 Q_P portanza di base del palo
 Q_L portanza per attrito laterale del palo
 W_P peso proprio del palo

e le due componenti Q_P e Q_L sono calcolate in modo indipendente fra loro.

Dalla capacità portante del palo si ricava il carico ammissibile del palo Q_A applicando il coefficiente di sicurezza della portanza alla punta η_p ed il coefficiente di sicurezza della portanza per attrito laterale η_l .

Palo compresso:

$$Q_d = \frac{Q_p}{\eta_p} + \frac{Q_l}{\eta_l} - W_p$$

Palo tesato:

$$Q_d = \frac{Q_l}{\eta_l} - W_p$$

Capacità portante di punta

In generale la capacità portante di punta viene calcolata tramite l'espressione:

$$Q_p = A_p \left(cN'_c + qN'_q + \frac{1}{2} B\gamma N'_\gamma \right)$$

dove:

A_p è l'area portante efficace della punta del palo
 c è la coesione
 q è la pressione geostatica alla quota della punta del palo
 γ è il peso specifico del terreno
 D è il diametro del palo
 N'_c N'_q N'_γ sono i coefficienti di capacità portante corretti per tener conto degli effetti di forma e di profondità.

Capacità portante per resistenza laterale

La resistenza laterale è data dall'integrale esteso a tutta la superficie laterale del palo delle tensioni tangenziali palo-terreno in condizioni limite:

$$Q_l = \int_S \tau_a dS$$

dove τ_a è dato dalla nota relazione di Coulomb

$$\tau_a = c_a + \sigma_h \tan \delta$$

dove:

c_a è l'adesione palo-terreno
 δ è l'angolo di attrito palo-terreno
 γ è il peso specifico del terreno
 z è la generica quota a partire dalla testa del palo
 L è la lunghezza del palo
 P è il perimetro del palo
 K_s è il coefficiente di spinta che dipende dalle caratteristiche meccaniche e fisiche del terreno dal suo stato di addensamento e dalle modalità di realizzazione del palo.

Portanza trasversale dei pali - Analisi ad elementi finiti

Nel modello di terreno alla Winkler il terreno viene schematizzato come una serie di molle elastiche indipendenti fra di loro. Le molle che schematizzano il terreno vengono caratterizzate tramite una costante elastica K espressa in $\text{Kg/cm}^2/\text{cm}$ che rappresenta la pressione (in Kg/cm^2) che bisogna applicare per ottenere l'abbassamento di 1 cm.

Nel metodo degli elementi finiti occorre discretizzare il particolare problema. Nel caso specifico il palo viene suddiviso in un certo numero di elementi di eguale lunghezza. Ogni elemento è caratterizzato da una sezione avente area ed inerzia coincidente con quella del palo.

Il terreno viene schematizzato come una serie di molle orizzontali che reagiscono agli spostamenti nei due versi. La rigidità assiale della singola molla è proporzionale alla costante di Winkler orizzontale del terreno, al diametro del palo ed alla lunghezza dell'elemento.

La molla, però, non viene vista come un elemento infinitamente elastico ma come un elemento con comportamento del tipo elastoplastico perfetto (diagramma sforzi-deformazioni di tipo bilatero). Essa presenta una resistenza crescente al crescere degli spostamenti fino a che l'entità degli spostamenti si mantiene al di sotto di un certo spostamento limite, X_{max} oppure fino a quando non si raggiunge il valore della pressione limite. Superato tale limite non si ha un incremento di resistenza. E' evidente che assumendo un comportamento di questo tipo ci si addentra in un tipico problema non lineare che può essere risolto solo mediante una analisi al passo. Questa modellazione presenta il notevole vantaggio di poter schematizzare tutti quei comportamenti individuati da Broms e che sarebbe impossibile trattare in un modello numerico. In particolare risulta automatico analizzare casi in cui si ha insufficiente portanza non per rottura del palo ma per rottura del terreno (vedi il caso di un palo molto rigido in un terreno molle).

Determinazione degli scarichi sul palo.

Gli scarichi sui pali vengono determinati mediante il metodo delle rigidità.

La piastra di fondazione viene considerata infinitamente rigida (3 gradi di libertà) ed i pali vengono considerati incastrati o incernierati (la scelta del vincolo viene fatta dall'Utente nella tabella CARATTERISTICHE del sottomenu PALI) a tale piastra.

Viene effettuata una prima analisi di ogni palo di ciascuna fila (i pali di ogni fila hanno le stesse caratteristiche) per costruire una curva carichi-spostamenti del palo. Questa curva viene costruita considerando il palo elastico. Si tratta, in definitiva, della matrice di rigidità del palo K_e , costruita imponendo traslazioni e rotazioni unitarie per determinare le corrispondenti sollecitazioni in testa al palo.

Nota la matrice di rigidità di ogni palo si assembla la matrice globale (di dimensioni 3×3) della palificata, K .

A questo punto, note le forze agenti in fondazione (N, T, M) si possono ricavare gli spostamenti della piastra (abbassamento, traslazione e rotazione) e le forze che si scaricano su ciascun palo. Infatti indicando con p il vettore dei carichi e con u il vettore degli spostamenti della piastra abbiamo:

$$u = K^{-1}p$$

Noti gli spostamenti della piastra, e quindi della testa dei pali, abbiamo gli scarichi su ciascun palo. Allora per ciascun palo viene effettuata un'analisi elastoplastica incrementale (tramite il metodo degli elementi finiti) che, tenendo conto della plasticizzazione del terreno, calcola le sollecitazioni in tutte le sezioni del palo.

Se, le caratteristiche del terreno (rappresentate da $K(h)$) sono tali che se non è possibile raggiungere l'equilibrio si ha collasso per 'rottura' del terreno.

3. Dati

Materiali

Simbologia adottata

n°	Indice materiale
Descr	Descrizione del materiale
Calcestruzzo armato	
C	Classe di resistenza del cls
A	Classe di resistenza dell'acciaio
γ	Peso specifico, espresso in [kg/mc]
R _{ck}	Resistenza caratteristica a compressione, espressa in [kg/cmq]
E	Modulo elastico, espresso in [kg/cmq]
ν	Coeff. di Poisson
n	Coeff. di omogenizzazione acciaio/cls
ntc	Coeff. di omogenizzazione cls tesoro/compresso

Calcestruzzo armato

n°	Descr	C	A	γ	R _{ck}	E	ν	n	ntc
1	C32/40	C32/40	B450C	[kg/mc] 2500,00	[kg/cm ²] 407,88	[kg/cm ²] 343054	0.30	15.00	0.50

Acciai

Descr	f _{yk}	f _{uk}
B450C	[kg/cm ²] 4588,65	[kg/cm ²] 5506,38

Tipologie pali

Simbologia adottata

n°	Indice tipologia palo
Descr	Descrizione tipologia palo
P	Contributo portanza palo (laterale e/o punta)
T	Tecnologia costruttiva (trivellato, infisso o elica continua)
V	Vincolo palo-fondazione: Cerniera o Incastro (libero o impedito di ruotare in testa)
Imat	Indice materiale che lo costituisce
BD	usa metodo di Bustamante-Doix
PN	Portanza nota
Pp, Pl	Portanza di punta e laterale caratteristica, espressa in [kg]

n°	Descr	P	T	V	Imat	BD	PN	Pp	Pl
1	Tipologia palo	Laterale + Punta	Trivellato	Incastro	1	NO	NO	--	--

Geometria profilo terreno a monte del muro

Simbologia adottata

(Sistema di riferimento con origine in testa al muro, ascissa X positiva verso monte, ordinata Y positiva verso l'alto)

n°	numero ordine del punto
X	ascissa del punto espressa in [m]
Y	ordinata del punto espressa in [m]
A	inclinazione del tratto espressa in [°]

n°	X	Y	A
1	[m] 0,00	[m] 0,00	[°] 0.000
2	[m] 30,00	[m] 0,00	[°] 0.000

Inclinazione terreno a valle del muro rispetto all'orizzontale 30.000 [°]

Geometria muro

Geometria paramento e fondazione

Lunghezza muro 40,00 [m]

Paramento

Materiale C32/40

Altezza paramento	4,70	[m]
Altezza paramento libero	4,00	[m]
Spessore in sommità	0,70	[m]
Spessore all'attacco con la fondazione	0,70	[m]
Inclinazione paramento esterno	0,00	[°]
Inclinazione paramento interno	0,00	[°]

Fondazione

Materiale	C32/40	
Lunghezza mensola di valle	0,80	[m]
Lunghezza mensola di monte	3,50	[m]
Lunghezza totale	5,00	[m]
Inclinazione piano di posa	0,00	[°]
Spessore	1,20	[m]
Spessore magrone	0,10	[m]

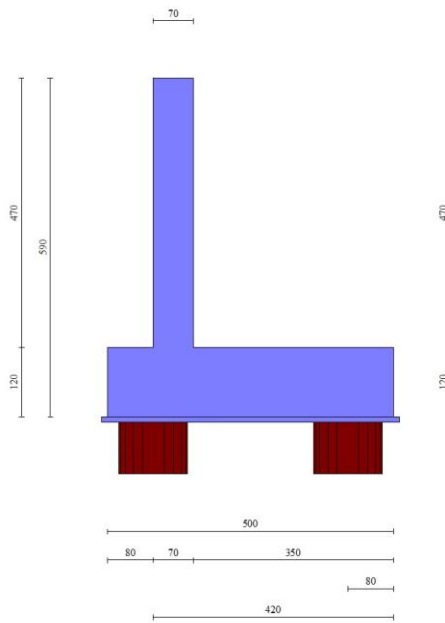


Fig. 1 - Sezione quotata del muro

Descrizione pali di fondazione

Simbologia adottata

- n° numero d'ordine della fila
- X ascissa della fila misurata dallo spigolo di monte della fondazione espressa in [m]
- I interasse tra i pali, espressa in [m]
- f franco laterale (distanza minima dal bordo laterale), espressa in [m]
- Np Numero di pali della fila
- D diametro dei pali della fila espresso in [cm]
- L lunghezza dei pali della fila espressa in [m]
- α inclinazione dei pali della fila rispetto alla verticale espressa in [°]
- ALL allineamento dei pali della fila rispetto al baricentro della fondazione (CENTRATI o SFALSATI)

n°	Tipologia	X [m]	I [m]	f [m]	Np	D [cm]	L [m]	α [°]	ALL
1	Tipologia palo	0,80	3,50	0,20	11	120,00	13,00	0,00	Centrati
2	Tipologia palo	4,20	3,50	0,20	11	120,00	13,00	0,00	Centrati

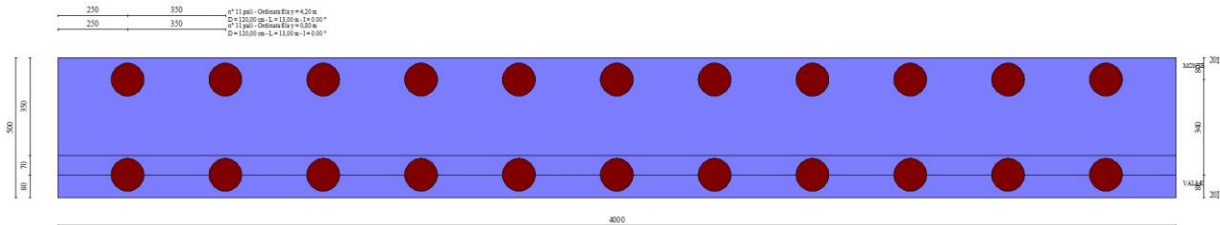


Fig. 2 - Pianta pali

Descrizione terreni

Parametri di resistenza

Simbologia adottata

- n° Indice del terreno
- Descr Descrizione terreno
- γ Peso di volume del terreno espresso in [kg/mc]
- γ_s Peso di volume saturo del terreno espresso in [kg/mc]
- ϕ Angolo d'attrito interno espresso in [°]
- δ Angolo d'attrito terra-muro espresso in [°]
- c Coesione espressa in [kg/cm²]
- ca Adesione terra-muro espressa in [kg/cm²]
- Per calcolo portanza con il metodo di Bustamante-Doix
- Cesp Coeff. di espansione laterale (solo per il metodo di Bustamante-Doix)
- τ_l Tensione tangenziale limite, espressa in [kg/cm²]

n°	Descr	γ [kg/mc]	γ_{sat} [kg/mc]	ϕ [°]	δ [°]	c [kg/cm ²]	ca [kg/cm ²]	Cesp	τ_l [kg/cm ²]	
1	Strato di copertura vegetale	1800,00	2000,00	20.000	13.333	0,00	0,00	0.000	0,00	(CAR)
				20.000	13.333	0,00	0,00		0,00	(MIN)
				20.000	13.333	0,00	0,00		0,00	(MED)
2	Sabbia limosa SL3	2110,00	2110,00	36.000	24.000	0,10	0,05	1.450	0,61	(CAR)
				36.000	24.000	0,10	0,05		0,61	(MIN)
				36.000	24.000	0,10	0,05		0,61	(MED)
3	Formazione alterata	2250,00	2350,00	37.000	24.000	0,20	0,10	1.800	1,38	(CAR)
				37.000	24.000	0,20	0,10		1,38	(MIN)
				37.000	24.000	0,20	0,10		1,38	(MED)
4	Formazione arenacea	2480,00	2480,00	40.000	26.000	2,00	1,00	1.800	1,38	(CAR)
				40.000	26.000	2,00	1,00		1,38	(MIN)
				40.000	26.000	2,00	1,00		1,38	(MED)
5	Rilevato stradale	1800,00	1800,00	35.000	23.333	0,00	0,00	1.150	0,10	(CAR)
				35.000	23.333	0,00	0,00		0,10	(MIN)
				35.000	23.333	0,00	0,00		0,10	(MED)
6	Sabbia limosa SL2	1950,00	2050,00	32.000	21.000	0,01	0,01	1.000	0,00	(CAR)
				32.000	21.000	0,01	0,01		0,00	(MIN)
				32.000	21.000	0,01	0,01		0,00	(MED)

Stratigrafia

Simbologia adottata

- n° Indice dello strato
- H Spessore dello strato espresso in [m]
- α Inclinazione espressa in [°]
- Terreno Terreno dello strato
- Kwn, Kwt Costante di Winkler normale e tangenziale alla superficie espressa in Kg/cm²/cm
- Per calcolo pali (solo se presenti)
- Kw Costante di Winkler orizzontale espressa in Kg/cm²/cm
- Ks Coefficiente di spinta
- Cesp Coefficiente di espansione laterale (per tutti i metodi tranne il metodo di Bustamante-Doix)

Per calcolo della spinta con coeff. di spinta definiti (usati solo se attiva l'opzione 'Usa coeff. di spinta da strato')
 Kst_{sta}, Kst_{sis} Coeff. di spinta statico e sismico

n°	H [m]	α [°]	Terreno	Kwn [Kg/cm ³]	Kwt [Kg/cm ²]	Kw [Kg/cm ²]	Ks	Cesp	Kst _{sta}	Kst _{sis}
1	6,00	30.000	Rilevato stradale	0.000	0.000	0,000	0,000	1,000	---	---
2	3,00	30.000	Sabbia limosa SL3	0.000	0.000	1,050	0,000	1,000	---	---
3	9,00	30.000	Formazione alterata	0.265	0.190	1,926	0,000	1,000	---	---
4	10,00	30.000	Formazione arenacea	0.239	0.173	1,323	0,000	1,000	---	---

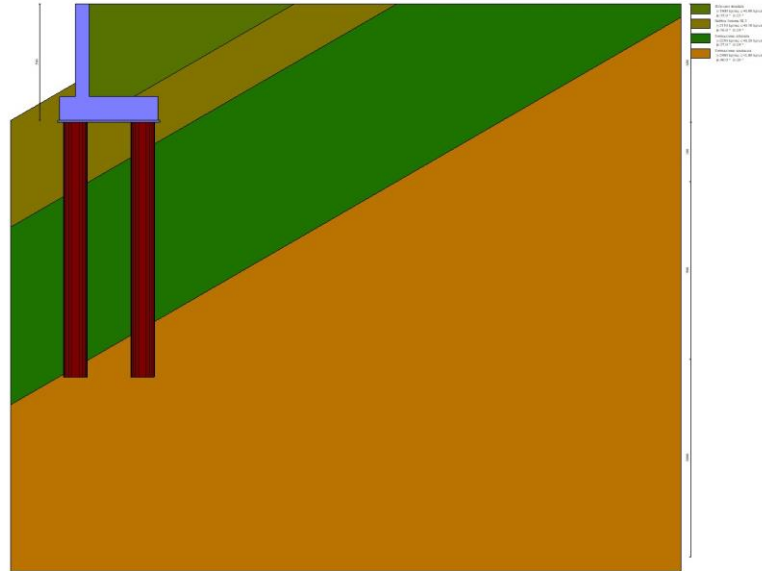


Fig. 3 - Stratigrafia

Condizioni di carico

Simbologia adottata

Carichi verticali positivi verso il basso.
Carichi orizzontali positivi verso sinistra.
Momento positivo senso antiorario.

- X Ascissa del punto di applicazione del carico concentrato espressa in [m]
- F_x Componente orizzontale del carico concentrato espressa in [kg]
- F_y Componente verticale del carico concentrato espressa in [kg]
- M Momento espresso in [kgm]
- X_i Ascissa del punto iniziale del carico ripartito espressa in [m]
- X_f Ascissa del punto finale del carico ripartito espressa in [m]
- Q_i Intensità del carico per x=X_i espressa in [kg]
- Q_f Intensità del carico per x=X_f espressa in [kg]

Condizione n° 1 (Condizione 1) - VARIABILE TE

Coeff. di combinazione $\Psi_0=0.75 - \Psi_1=0.75 - \Psi_2=0.00$

Carichi sul terreno

n°	Tipo	X [m]	F _x [kg]	F _y [kg]	M [kgm]	X _i [m]	X _f [m]	Q _i [kg]	Q _f [kg]
1	Distribuito					0,50	9,50	2000,00	2000,00

Condizione n° 2 (Condizione 2) - ECCEZIONALE

Carichi sul muro

n°	Tipo	Dest	X; Y [m]	F _x [kg]	F _y [kg]	M [kgm]	X _i [m]	X _f [m]	Q _i [kg]	Q _f [kg]
1	Concentrato	Paramento	0,00; 0,00	19080,00	0,00	19080,00				

Normativa

Normativa usata: **Norme Tecniche sulle Costruzioni 2018 (D.M. 17.01.2018) + Circolare C.S.LL.PP. 21/01/2019 n.7**

Coeff. parziali per le azioni o per l'effetto delle azioni

Carichi	Effetto	Combinazioni statiche	Combinazioni sismiche
---------	---------	-----------------------	-----------------------

			UPL	EQU	A1	A2	EQU	A1	A2
Permanenti strutturali	Favorevoli	$\gamma_{G1,fav}$	0.90	1.00	1.00	1.00	1.00	1.00	1.00
Permanenti strutturali	Sfavorevoli	$\gamma_{G1,sfav}$	1.10	1.30	1.30	1.00	1.00	1.00	1.00
Permanenti non strutturali	Favorevoli	$\gamma_{G2,fav}$	0.80	0.80	0.80	0.80	0.00	0.00	0.00
Permanenti non strutturali	Sfavorevoli	$\gamma_{G2,sfav}$	1.50	1.50	1.50	1.30	1.00	1.00	1.00
Variabili	Favorevoli	$\gamma_{Q,fav}$	0.00	0.00	0.00	0.00	0.00	0.00	0.00
Variabili	Sfavorevoli	$\gamma_{Q,sfav}$	1.50	1.50	1.50	1.30	1.00	1.00	1.00
Variabili da traffico	Favorevoli	$\gamma_{QT,fav}$	0.00	0.00	0.00	0.00	0.00	0.00	0.00
Variabili da traffico	Sfavorevoli	$\gamma_{QT,sfav}$	1.50	1.35	1.35	1.15	1.00	1.00	1.00

Coeff. parziali per i parametri geotecnici del terreno

Parametro		Combinazioni statiche		Combinazioni sismiche	
		M1	M2	M1	M2
Tangente dell'angolo di attrito	$\gamma_{\tan(\phi')}$	1.00	1.25	1.00	1.00
Coesione efficace	$\gamma_{c'}$	1.00	1.25	1.00	1.00
Resistenza non drenata	γ_{cu}	1.00	1.40	1.00	1.00
Peso nell'unita di volume	γ_{γ}	1.00	1.00	1.00	1.00

Coeff. parziali γ_R per le verifiche agli stati limite ultimi STR e GEO

Verifica	Combinazioni statiche			Combinazioni sismiche		
	R1	R2	R3	R1	R2	R3
Capacità portante	--	--	1.40	--	--	1.20
Scorrimento	--	--	1.10	--	--	1.00
Resistenza terreno a valle	--	--	1.40	--	--	1.20
Ribaltamento	--	--	1.15	--	--	1.00
Stabilità fronte di scavo	--	1.10	--	--	1.20	--

Carichi verticali. Coeff. parziali γ_R da applicare alle resistenze caratteristiche

Resistenza		Pali infissi			Pali trivellati			Pali ad elica continua		
		R1	R2	R3	R1	R2	R3	R1	R2	R3
Punta	γ_b	--	--	1.15	--	--	1.35	--	--	1.30
Laterale compressione	γ_s	--	--	1.15	--	--	1.15	--	--	1.15
Totale compressione	γ_t	--	--	1.15	--	--	1.30	--	--	1.25
Laterale trazione	γ_{st}	--	--	1.25	--	--	1.25	--	--	1.25

Carichi trasversali. Coeff. parziali γ_R da applicare alle resistenze caratteristiche

		R1	R2	R3
Trasversale	γ_t	--	--	1.30

Coefficienti di riduzione ζ per la determinazione della resistenza caratteristica dei pali

Numero di verticali indagate 1

$\zeta_3=1.70$ $\zeta_4=1.70$

Descrizione combinazioni di carico

Con riferimento alle azioni elementari prima determinate, si sono considerate le seguenti combinazioni di carico:

- Combinazione fondamentale, impiegata per gli stati limite ultimi (SLU):

$$\gamma_{G1} G_1 + \gamma_{G2} G_2 + \gamma_{Q1} Q_{k1} + \gamma_{Q2} Q_{k2} + \gamma_{Q3} Q_{k3} + \dots$$

- Combinazione caratteristica, cosiddetta rara, impiegata per gli stati limite di esercizio (SLE) irreversibili:

$$G_1 + G_2 + Q_{k1} + \Psi_{0,2} Q_{k2} + \Psi_{0,3} Q_{k3} + \dots$$

- Combinazione frequente, impiegata per gli stati limite di esercizio (SLE) reversibili:

$$G_1 + G_2 + \Psi_{1,1} Q_{k1} + \Psi_{2,2} Q_{k2} + \Psi_{2,3} Q_{k3} + \dots$$

- Combinazione quasi permanente, impiegata per gli effetti di lungo periodo:

$$G_1 + G_2 + \Psi_{2,1} Q_{k1} + \Psi_{2,2} Q_{k2} + \Psi_{2,3} Q_{k3} + \dots$$

- Combinazione sismica, impiegata per gli stati limite ultimi connessi all'azione sismica E:

$$E + G_1 + G_2 + \Psi_{2,1} Q_{k1} + \Psi_{2,2} Q_{k2} + \Psi_{2,3} Q_{k3} + \dots$$

- Combinazione eccezionale, impiegata per gli stati limite ultimi connessi alle azioni eccezionali Ad:

$$G_1 + G_2 + A_d + \Psi_{2,1} Q_{k1} + \Psi_{2,2} Q_{k2} + \Psi_{2,3} Q_{k3} + \dots$$

I valori dei coeff. $\Psi_{0,j}$, $\Psi_{1,j}$, $\Psi_{2,j}$ sono definiti nelle singole condizioni variabili.

I valori dei coeff. γ_G e γ_Q , sono definiti nella tabella normativa.

In particolare si sono considerate le seguenti combinazioni:

Simbologia adottata

γ Coefficiente di partecipazione della condizione
 Ψ Coefficiente di combinazione della condizione

Combinazione n° 1 - STR (A1-M1-R3)

Condizione	γ	Ψ	Effetto
Peso muro	1.00	--	Favorevole
Peso terrapieno	1.00	--	Favorevole
Spinta terreno	1.30	--	Sfavorevole
Condizione 1	1.35	1.00	Sfavorevole

Combinazione n° 2 - STR (A1-M1-R3) H + V

Condizione	γ	Ψ	Effetto
Peso muro	1.00	--	Favorevole
Peso terrapieno	1.00	--	Favorevole
Spinta terreno	1.00	--	Sfavorevole

Combinazione n° 3 - STR (A1-M1-R3) H - V

Condizione	γ	Ψ	Effetto
Peso muro	1.00	--	Sfavorevole
Peso terrapieno	1.00	--	Sfavorevole
Spinta terreno	1.00	--	Sfavorevole

Combinazione n° 4 - STR (A1-M1-R3)

Condizione	γ	Ψ	Effetto
Peso muro	1.30	--	Sfavorevole
Peso terrapieno	1.30	--	Sfavorevole
Spinta terreno	1.30	--	Sfavorevole
Condizione 1	1.35	1.00	Sfavorevole

Combinazione n° 5 - STR (A1-M1-R3)

Condizione	γ	Ψ	Effetto
Peso muro	1.00	--	Favorevole
Peso terrapieno	1.30	--	Sfavorevole
Spinta terreno	1.30	--	Sfavorevole
Condizione 1	1.35	1.00	Sfavorevole

Combinazione n° 6 - STR (A1-M1-R3)

Condizione	γ	Ψ	Effetto
Peso muro	1.30	--	Sfavorevole
Peso terrapieno	1.00	--	Favorevole
Spinta terreno	1.30	--	Sfavorevole
Condizione 1	1.35	1.00	Sfavorevole

Combinazione n° 7 - GEO (A2-M2-R2)

Condizione	γ	Ψ	Effetto
Peso muro	1.00	--	Sfavorevole
Peso terrapieno	1.00	--	Sfavorevole
Spinta terreno	1.00	--	Sfavorevole
Condizione 1	1.15	1.00	Sfavorevole

Combinazione n° 8 - GEO (A2-M2-R2) H + V

Condizione	γ	Ψ	Effetto
Peso muro	1.00	--	Sfavorevole
Peso terrapieno	1.00	--	Sfavorevole
Spinta terreno	1.00	--	Sfavorevole

Combinazione n° 9 - GEO (A2-M2-R2) H - V

Condizione	γ	Ψ	Effetto
Peso muro	1.00	--	Sfavorevole
Peso terrapieno	1.00	--	Sfavorevole
Spinta terreno	1.00	--	Sfavorevole

Combinazione n° 10 - EQU (A1-M1-R3)

Condizione	γ	Ψ	Effetto
Peso muro	1.00	--	Favorevole
Peso terrapieno	1.00	--	Favorevole
Spinta terreno	1.30	--	Sfavorevole
Condizione 1	1.35	1.00	Sfavorevole

Combinazione n° 11 - EQU (A1-M1-R3) H + V

Condizione	γ	Ψ	Effetto
Peso muro	1.00	--	Favorevole
Peso terrapieno	1.00	--	Favorevole
Spinta terreno	1.00	--	Sfavorevole

Combinazione n° 12 - EQU (A1-M1-R3) H - V

Condizione	γ	Ψ	Effetto
Peso muro	1.00	--	Favorevole
Peso terrapieno	1.00	--	Favorevole
Spinta terreno	1.00	--	Sfavorevole

Combinazione n° 13 - ECC

Condizione	γ	Ψ	Effetto
Peso muro	1.00	--	Sfavorevole
Peso terrapieno	1.00	--	Sfavorevole
Spinta terreno	1.00	--	Sfavorevole
Condizione 2	1.00	1.00	Sfavorevole

Combinazione n° 14 - SLER

Condizione	γ	Ψ	Effetto
Peso muro	1.00	--	Sfavorevole
Peso terrapieno	1.00	--	Sfavorevole
Spinta terreno	1.00	--	Sfavorevole
Condizione 1	1.00	1.00	Sfavorevole

Combinazione n° 15 - SLEF

Condizione	γ	Ψ	Effetto
Peso muro	1.00	--	Sfavorevole
Peso terrapieno	1.00	--	Sfavorevole
Spinta terreno	1.00	--	Sfavorevole
Condizione 1	1.00	0.75	Sfavorevole

Combinazione n° 16 - SLEQ

Condizione	γ	Ψ	Effetto
Peso muro	1.00	--	Sfavorevole
Peso terrapieno	1.00	--	Sfavorevole
Spinta terreno	1.00	--	Sfavorevole

Combinazione n° 17 - SLEQ H + V

Condizione	γ	Ψ	Effetto
Peso muro	1.00	--	Sfavorevole
Peso terrapieno	1.00	--	Sfavorevole
Spinta terreno	1.00	--	Sfavorevole

Combinazione n° 18 - SLEQ H - V

Condizione	γ	Ψ	Effetto
Peso muro	1.00	--	Sfavorevole
Peso terrapieno	1.00	--	Sfavorevole
Spinta terreno	1.00	--	Sfavorevole

Dati sismici

Comune	Sarnano
Provincia	Macerata
Regione	Marche
Latitudine	43.035796
Longitudine	13.299241
Indice punti di interpolazione	23418 - 23419 - 23197 - 23196
Vita nominale	50 anni
Classe d'uso	IV
Tipo costruzione	Normali affollamenti
Vita di riferimento	100 anni

	Simbolo	U.M.	SLU	SLE
Accelerazione al suolo	a_a	[m/s ²]	2.273	0.983
Accelerazione al suolo	a_g/g	[%]	0.232	0.100
Massimo fattore amplificazione spettro orizzontale	F0		2.535	2.474
Periodo inizio tratto spettro a velocità costante	Tc*		0.348	0.312
Tipo di sottosuolo - Coefficiente stratigrafico	Ss	B	1.165	1.200
Categoria topografica - Coefficiente amplificazione topografica	St	T2	1.200	

Stato limite ...	Coeff. di riduzione β_m	kh [%]	kv [%]
Ultimo	1.000	32.392	16.196
Ultimo - Ribaltamento	1.000	32.392	16.196

Stato limite ...	Coeff. di riduzione β_m	kh [%]	kv [%]
Esercizio	1.000	14.431	7.215

Forma diagramma incremento sismico **Rettangolare**

Opzioni di calcolo

Spinta

Metodo di calcolo della spinta	Culmann
Tipo di spinta	Spinta attiva
Terreno a bassa permeabilità	NO
Superficie di spinta limitata	NO

Stabilità globale

Metodo di calcolo della stabilità globale	Fellenius
---	-----------

Altro

Partecipazione spinta passiva terreno antistante	0.00
Partecipazione resistenza passiva dente di fondazione	50.00
Componente verticale della spinta nel calcolo delle sollecitazioni	SI
Considera terreno sulla fondazione di valle	NO
Considera spinta e peso acqua fondazione di valle	NO

Spostamenti

Modello a blocchi	
Non è stato richiesto il calcolo degli spostamenti	
Spostamento limite	5,00 [cm]

Opzioni calcolo pali

Portanza verticale

Metodo di calcolo della portanza alla punta	Berezantzev
Metodo di calcolo della portanza alla laterale	Integrazione delle tensioni tangenziali ($k_s \sigma_v \tan(\delta) + c_a$)
Correzione angolo di attrito in funzione del tipo di palo (infisso/trivellato)	Attiva
Andamento pressione verticale nel calcolo della portanza alla punta σ_v con la profondità	Pressione geostatica
Andamento pressione verticale nel calcolo della portanza laterale	Pressione geostatica

Portanza trasversale

Costante di Winkler: da strato	
Criterio rottura palo-terreno	
- Spostamento limite	Non attivo
- Pressione limite	Pressione passiva con moltiplicatore $M=3,00$
- Palo infinitamente elastico	Non attivo

Cedimenti

Metodo di calcolo	Metodo agli elementi finiti
Spostamento limite alla punta	1,00 [cm]
Spostamento limite laterale	0,50 [cm]

Specifiche per le verifiche nelle combinazioni allo Stato Limite Ultimo (SLU)

	SLU	Eccezionale
Coefficiente di sicurezza calcestruzzo a compressione	1.50	1.00
Coefficiente di sicurezza acciaio	1.15	1.00
Fattore di riduzione da resistenza cubica a cilindrica	0.83	0.83
Fattore di riduzione per carichi di lungo periodo	0.85	0.85
Coefficiente di sicurezza per la sezione	1.00	1.00

Specifiche per le verifiche nelle combinazioni allo Stato Limite di Esercizio (SLE)

Paramento e fondazione muro

Verifiche strutturali nelle combinazioni SLD eseguite. Struttura in classe d'uso III o IV

Condizioni ambientali	Ordinarie
Armatura ad aderenza migliorata	SI

Verifica a fessurazione

Sensibilità armatura	Poco sensibile
Metodo di calcolo aperture delle fessure	NTC 2018 - CIRCOLARE 21 gennaio 2019, n. 7 C.S.LL.PP.
Calcolo momento fessurazione	Apertura
Resistenza a trazione per	Flessione
Valori limite aperture delle fessure:	$w_1=0.20$
	$w_2=0.30$
	$w_3=0.40$

Verifica delle tensioni

Valori limite delle tensioni nei materiali:

Combinazione	Calcestruzzo	Acciaio
Rara	$0.60 f_{ck}$	$0.80 f_{yk}$
Frequente	$1.00 f_{ck}$	$1.00 f_{yk}$
Quasi permanente	$0.45 f_{ck}$	$1.00 f_{yk}$

PaliVerifiche strutturali nelle combinazioni SLD **NO. Struttura in classe d'uso III o IV**

Condizioni ambientali Ordinarie
 Armatura ad aderenza migliorata SI

Verifica a fessurazione

Sensibilità armatura Poco sensibile
 Metodo di calcolo aperture delle fessure NTC 2018 - CIRCOLARE 21 gennaio 2019, n. 7 C.S.LL.PP.
 Calcolo momento fessurazione Apertura
 Resistenza a trazione per Flessione
 Valori limite aperture delle fessure: $w_1=0.20$
 $w_2=0.30$
 $w_3=0.40$

Verifica delle tensioni

Valori limite delle tensioni nei materiali:

Combinazione	Calcestruzzo	Acciaio
Rara	0.60 f_{ck}	0.80 f_{yk}
Frequente	1.00 f_{ck}	1.00 f_{yk}
Quasi permanente	0.45 f_{ck}	1.00 f_{yk}

4. Risultati

Spinta e forze

Simbologia adottata

Ic	Indice della combinazione
A	Tipo azione
I	Inclinazione della spinta, espressa in [°]
V	Valore dell'azione, espressa in [kg]
C _x , C _y	Componente in direzione X ed Y dell'azione, espressa in [kg]
P _x , P _y	Coordinata X ed Y del punti di applicazione dell'azione, espressa in [m]

Ic	A	V [kg]	I [°]	C _x [kg]	C _y [kg]	P _x [m]	P _y [m]
2	Spinta statica	5075	23,60	4651	2032	3,50	-3,43
	Incremento di spinta sismica		7533	6903	3015	3,50	-2,95
	Peso/Inerzia muro			7523	23225/3761	0,52	-4,26
	Peso/Inerzia terrapieno			9636	29749/4818	1,75	-2,35
	Resistenza pali			-36646			

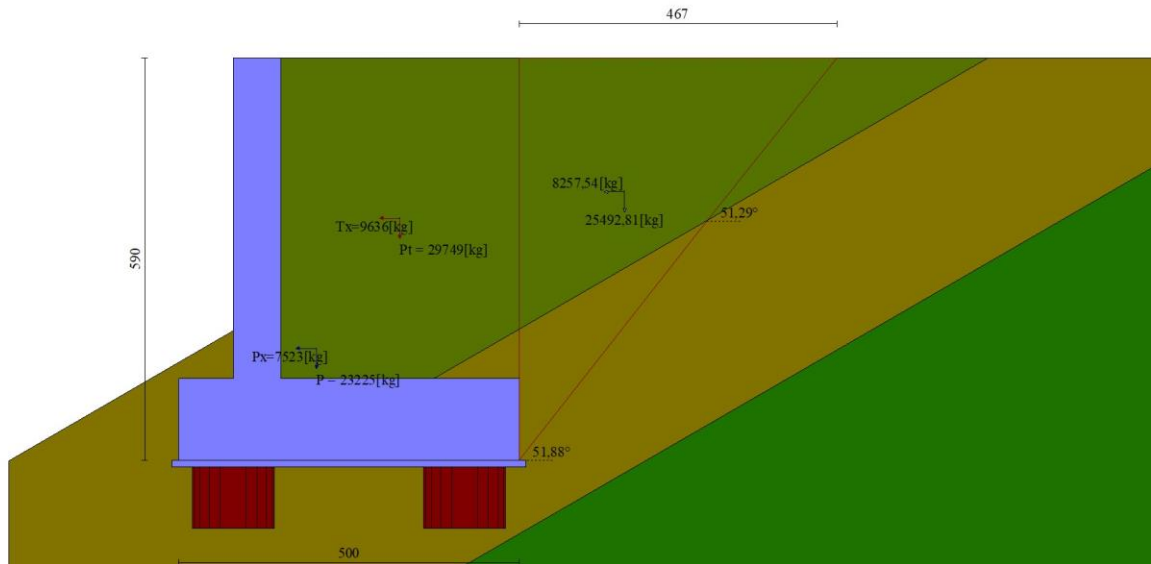


Fig. 4 - Cuneo di spinta (combinazione sismica) (Combinazione n° 2)

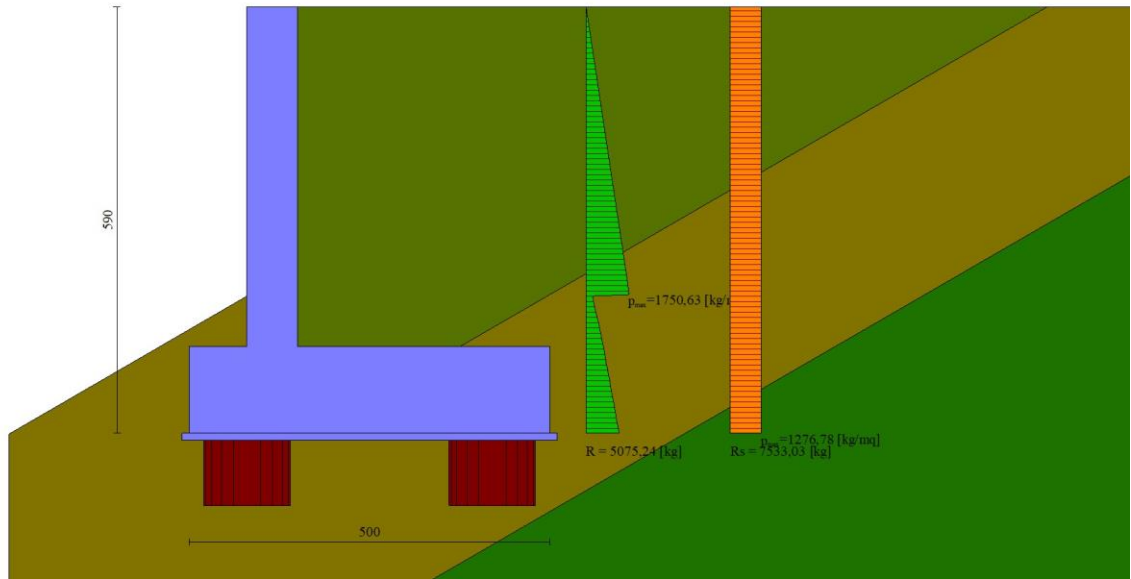


Fig. 5 - Diagramma delle pressioni (combinazione sismica) (Combinazione n° 2)

Verifiche geotecniche

Quadro riassuntivo coeff. di sicurezza calcolati

Simbologia adottata

- Cmb Indice/Tipo combinazione
- S Sisma (H: componente orizzontale, V: componente verticale)
- FS_{SCO} Coeff. di sicurezza allo scorrimento
- FS_{RIB} Coeff. di sicurezza al ribaltamento
- FS_{QLIM} Coeff. di sicurezza a carico limite
- FS_{STAB} Coeff. di sicurezza a stabilità globale
- FS_{HYD} Coeff. di sicurezza a sifonamento
- FS_{UPL} Coeff. di sicurezza a sollevamento

Cmb	Sismica	FS _{SCO}	FS _{RIB}	FS _{QLIM}	FS _{STAB}	FS _{HYD}	FS _{UPL}
1 - STR (A1-M1-R3)		3.354					
2 - STR (A1-M1-R3)	H + V	1.276					
3 - STR (A1-M1-R3)	H - V	1.373					
4 - STR (A1-M1-R3)		3.321					
5 - STR (A1-M1-R3)		3.284					
6 - STR (A1-M1-R3)		3.392					
7 - GEO (A2-M2-R2)					2.818		
8 - GEO (A2-M2-R2)	H + V				2.125		
9 - GEO (A2-M2-R2)	H - V				2.139		
10 - EQU (A1-M1-R3)			340.315				
11 - EQU (A1-M1-R3)	H + V		112.896				
12 - EQU (A1-M1-R3)	H - V		28.983				

Verifiche portanza trasversale (scorrimento)

Simbologia adottata

- Ic Indice/Tipo combinazione
- Ip Indice palo
- T Carico orizzontale agente alla testa del palo, espresso in [kg]
- Td Portanza trasversale di progetto, espresso in [kg]
- FS₀ Fattore di sicurezza (Td/T)

Ic	Ip	T [kg]	Td [kg]	FS ₀
2 - STR (A1-M1-R3) H + V	1	-58788	64629	1.099
	2	-45624	62404	1.368

Verifiche portanza verticale

Simbologia adottata

- Ic Indice/Tipo combinazione
- Ip Indice palo

N Carico verticale agente alla testa del palo, espresso in [kg]
 Pd Portanza di progetto, espresso in [kg]
 FS_v Fattore di sicurezza (Pd/N)

Ic	Ip	N	Pd	FS _v
		[kg]	[kg]	
2 - STR (A1-M1-R3) H + V	1	-12964	2933347	226.273
	2	255148	2856260	11.195
3 - STR (A1-M1-R3) H - V	1	-40348	97712	2.422
	2	217088	2856260	13.157

Dettagli calcolo portanza verticale

Simbologia adottata

n° Indice palo
 N_c, N_q Coeff. di capacità portante
 N'_c, N'_q Coeff. di capacità portante corretti
 Z_c Massima profondità andamento pressione geostatica, espressa in [m]
 P_p, P_l Portanza di punta e laterale caratteristica, espresse in [kg]
 A Attrito negativo, espresso in [kg]
 W_p Peso palo, espresso in [kg]

n°	N _c	N' _c	N _q	N' _q	Z _c	P _p	P _l	A	W _p
					[m]	[kg]	[kg]	[kg]	[kg]
1	138.842	138.842	105.625	105.625	--	6676495	129531	0	36757
2	138.842	138.842	105.625	105.625	--	6676495	129531	0	36757
						6571061	58277		
						6571061	58277		

Verifica a ribaltamento

Simbologia adottata

n° Indice combinazione
 M_s Momento stabilizzante, espresso in [kgm]
 M_r Momento ribaltante, espresso in [kgm]
 FS Fattore di sicurezza (rapporto tra momento stabilizzante e momento ribaltante)
 La verifica viene eseguita rispetto allo spigolo inferiore esterno della fondazione

n°	M _s	M _r	FS
	[kgm]	[kgm]	
12 - EQU (A1-M1-R3) H - V	2784994	96091	28.983

Verifica stabilità globale muro + terreno

Simbologia adottata

I_c Indice/Tipo combinazione
 C Centro superficie di scorrimento, espresso in [m]
 R Raggio, espresso in [m]
 FS Fattore di sicurezza

Ic	C	R	FS
	[m]	[m]	
8 - GEO (A2-M2-R2) H + V	-4,50; 4,50	18,37	2.125

Dettagli strisce verifiche stabilità

Simbologia adottata

Le ascisse X sono considerate positive verso monte
 Le ordinate Y sono considerate positive verso l'alto
 Origine in testa al muro (spigolo contro terra)
 W peso della striscia espresso in [kg]
 Q_y carico sulla striscia espresso in [kg]
 Q_f carico acqua sulla striscia espresso in [kg]
 α angolo fra la base della striscia e l'orizzontale espresso in [°] (positivo antiorario)
 φ angolo d'attrito del terreno lungo la base della striscia
 c coesione del terreno lungo la base della striscia espressa in [kg/cm²]
 b larghezza della striscia espressa in [m]
 u pressione neutra lungo la base della striscia espressa in [kg/cm²]
 T_x; T_y Resistenza al taglio fornita dai tiranti in direzione X ed Y espressa in [kg/cm²]

Combinazione n° 8 - GEO (A2-M2-R2) H + V

n°	W	Q _y	Q _f	b	α	φ	c	u	T _x ; T _y
	[kg]	[kg]	[kg]	[m]	[°]	[°]	[kg/cm ²]	[kg/cm ²]	[kg]
1	3515	0	0	13,32 - 1,08	70.591	36.000	0,10	0,000	
2	9542	0	0	1,08	62.111	37.000	0,20	0,000	
3	13811	0	0	1,08	55.545	37.000	0,20	0,000	
4	17020	0	0	1,08	49.961	37.000	0,20	0,000	
5	19578	0	0	1,08	44.973	37.000	0,20	0,000	
6	21692	0	0	1,08	40.390	37.000	0,20	0,000	
7	23454	0	0	1,08	36.104	37.000	0,20	0,000	
8	24922	0	0	1,08	32.041	37.000	0,20	0,000	

n°	W [kg]	Qy [kg]	Qf [kg]	b [m]	α [°]	ϕ [°]	c [kg/cmq]	u [kg/cmq]	Tx; Ty [kg]
9	26136	0	0	1,08	28.152	37.000	0,20	0,000	
10	27572	0	0	1,08	24.401	37.000	0,20	0,000	
11	28471	0	0	1,08	20.759	37.000	0,20	0,000	
12	29269	0	0	1,08	17.202	37.000	0,20	0,000	
13	32088	0	0	1,08	13.713	37.000	0,20	0,000	
14	21672	0	0	1,08	10.276	37.000	0,20	0,000	
15	19726	0	0	1,08	6.875	37.000	0,20	0,000	
16	18456	0	0	1,08	3.499	37.000	0,20	0,000	
17	17031	0	0	1,08	0.135	37.000	0,20	0,000	
18	15452	0	0	1,08	-3.229	37.000	0,20	0,000	
19	13719	0	0	1,08	-6.604	37.000	0,20	0,000	
20	11836	0	0	1,08	-10.002	37.000	0,20	0,000	
21	9886	0	0	1,08	-13.436	36.000	0,10	0,000	
22	7806	0	0	1,08	-16.920	36.000	0,10	0,000	
23	5565	0	0	1,08	-20.471	36.000	0,10	0,000	
24	3367	0	0	1,08	-24.106	36.000	0,10	0,000	
25	1141	0	0	-13,61 - 1,08	-27.539	36.000	0,10	0,000	

Resistenza al taglio pali 132917 [kg]

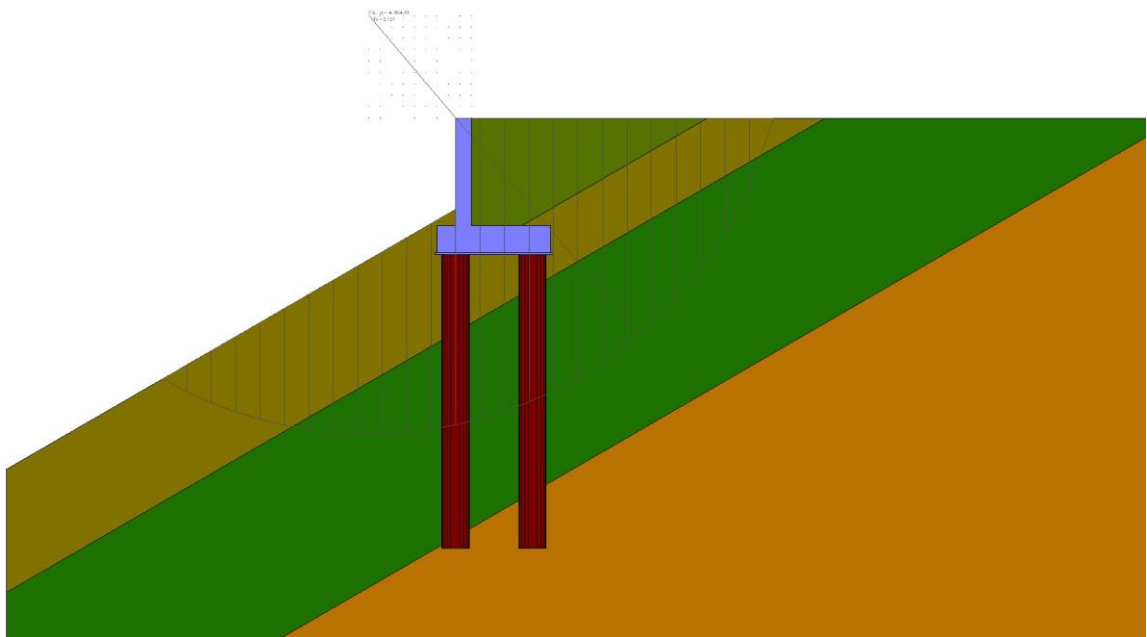


Fig. 6 - Stabilità fronte di scavo - Cerchio critico (Combinazione n° 8)

Spostamenti

Simbologia adottata

Cmb Tipo combinazione

Modello a blocchi

X Spostamento in direzione X (positivo verso monte), espresso in [cm]

Y Spostamento in direzione Y (positivo verso l'alto), espresso in [cm]

Phi Rotazione (positiva antioraria), espresso in [°]

Spostamenti ottenuti con il modello a blocchi

Cmb	X [cm]	Y [cm]	Phi [°]
2 - STR (A1-M1-R3) H + V	-0,79366	-0,07605	0,02161
13 - ECC	-0,75987	-0,07396	0,03082

Verifiche strutturali

Verifiche a flessione

Elementi calcolati a trave

Simbologia adottata

n° indice sezione

- B larghezza sezione espresso in [cm]
- H altezza sezione espressa in [cm]
- Afi area ferri inferiori espresso in [cmq]
- Afs area ferri superiori espressa in [cmq]
- M momento agente espressa in [kgm]
- N sforzo normale agente espressa in [kg]
- Mrd momento resistente espresso in [kgm]
- Nrd sforzo normale resistente espresso in [kg]
- FS fattore di sicurezza (rapporto tra sollecitazione ultima e sollecitazione agente)

Elementi calcolati a piastra

Simbologia adottata

- n° indice sezione
- Y ordinata sezione espressa in [m]
- B larghezza sezione espresso in [cm]
- H altezza sezione espressa in [cm]
- Afi, Afs area ferri inferiori e superiori, espresso in [cmq]
- Mp, Mn momento positivo e negativo agente espressa in [kgm]
- Mrd momento resistente espresso in [kgm]
- FS fattore di sicurezza (rapporto tra sollecitazione ultima e sollecitazione agente)

Oggetto	Is	B [cm]	H [cm]	Afi [cmq]	Afs [cmq]	M [kgm]	N [kg]	Mu [kgm]	Nu [kg]	FS
Paramento	22	100	70	21,24	21,24	59637	4059	60792	4059	1.019
Piastra fondazione	44-7-S	100	120	21,24	21,24			-95446		1.010
Palo c.a. 1	1	120		106,19		140277	-12964	192778	-12964	1.374
Palo c.a. 2	1	120		116,62		123590	255148	302960	255148	2.451

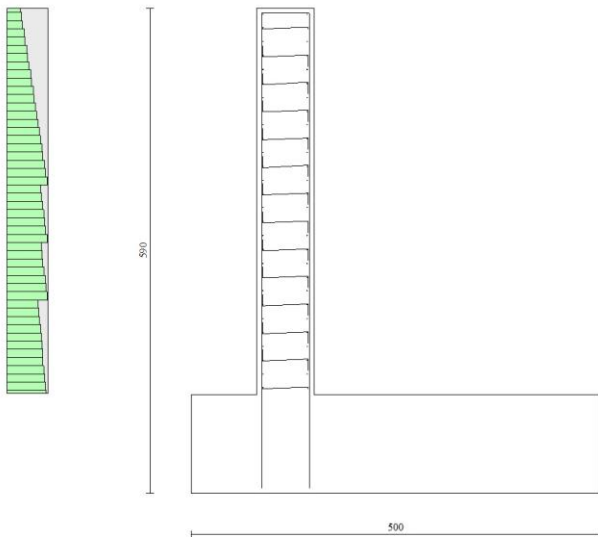


Fig. 7 - Paramento (Inviluppo)

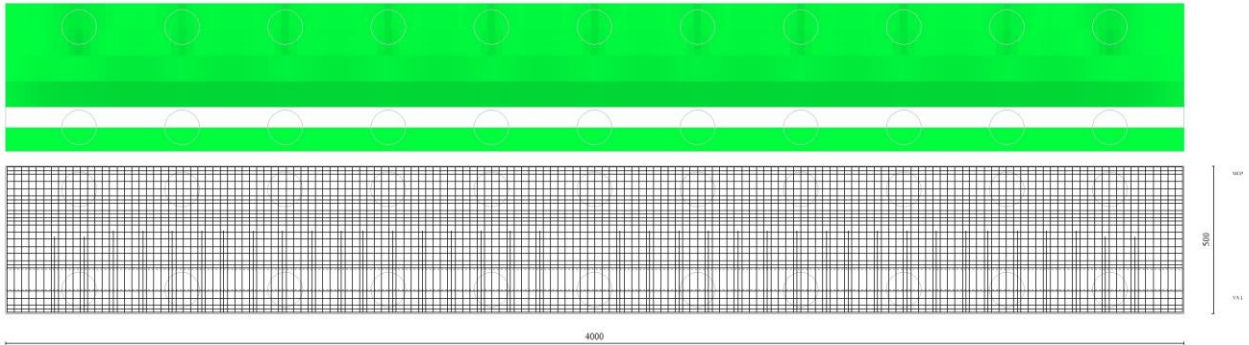


Fig. 8 - Piastra fondazione dir. X (Inviluppo)

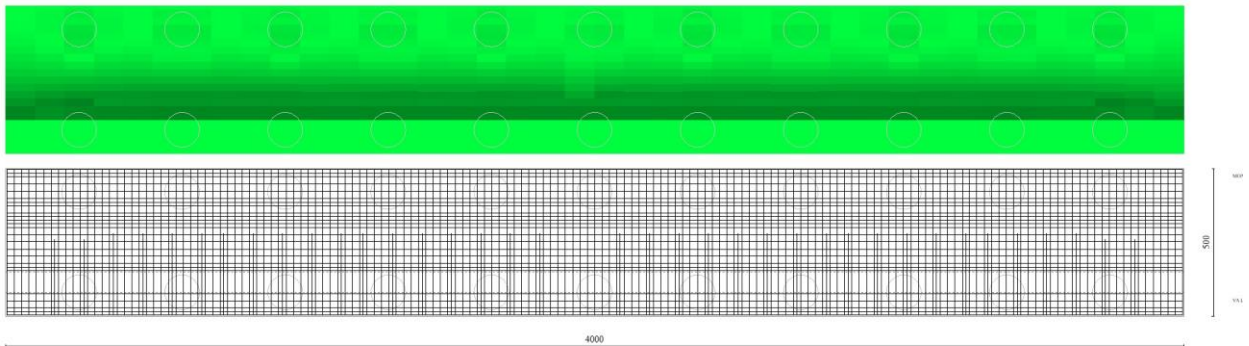


Fig. 9 - Piastra fondazione dir. Y (Inviluppo)

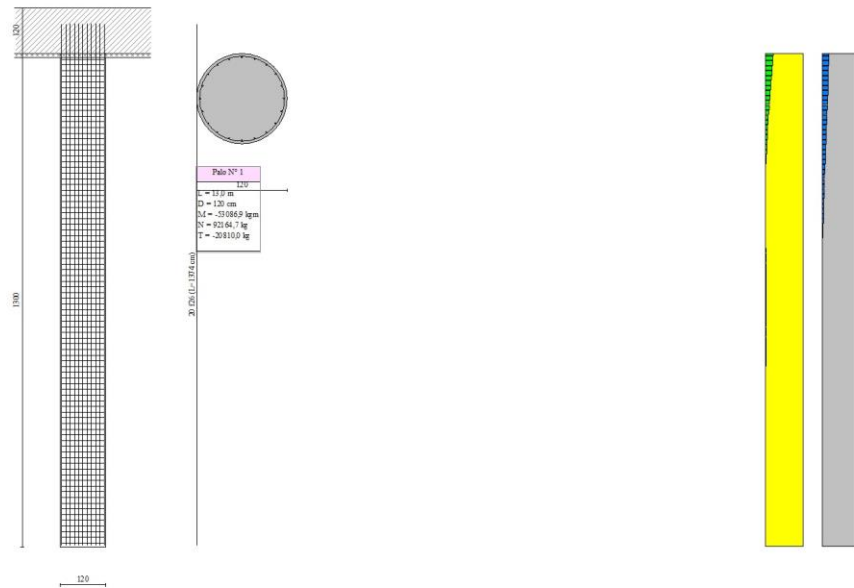


Fig. 10 - Pali (Palo n° 1) (Involuppo)

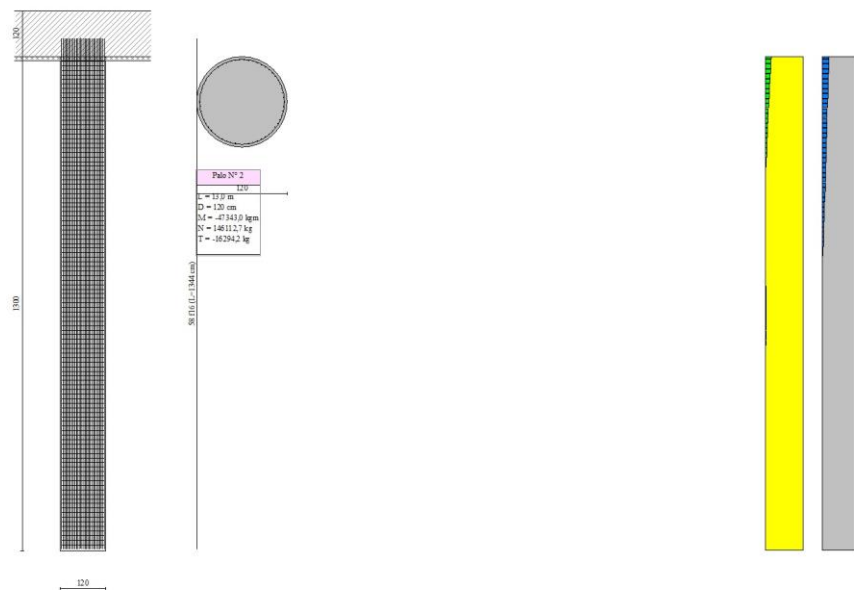


Fig. 11 - Pali (Palo n° 2) (Involuppo)

Verifiche a taglio

Simbologia adottata

- n° (o Is) indice sezione
- Y ordinata sezione espressa in [m]
- B larghezza sezione espresso in [cm]
- H altezza sezione espressa in [cm]
- A_{sw} area ferri a taglio espresso in [cmq]
- cotgθ inclinazione delle bielle compresse, θ inclinazione dei puntoni di calcestruzzo
- V_{Rcd} resistenza di progetto a 'taglio compressione' espressa in [kg]
- V_{Rsd} resistenza di progetto a 'taglio trazione' espressa in [kg]
- V_{Rd} resistenza di progetto a taglio espresso in [kg]. Per elementi con armature trasversali resistenti al taglio (A_{sw}>0.0) V_{Rd}=min(V_{Rcd}, V_{Rsd}).
- T taglio agente espressa in [kg]
- FS fattore di sicurezza (rapporto tra sollecitazione resistente e sollecitazione agente)

La verifica a taglio sui pali circolari in c.a. viene eseguita considerando una sezione quadrata inscritta nella circonferenza. Se D è il diametro del palo, il lato della sezione quadrata sulla quale si esegue la verifica è $L = 2^{0.5}/2 D$.

Oggetto	Is	B [cm]	H [cm]	A _{sw} [cmq]	cotθ	V _{Rcd} [kg]	V _{Rsd} [kg]	V _{Rd} [kg]	T [kg]	FS
Paramento	48	100	70	0,00		0	0	41177	23542	1.749
Piastra fondazione	1-1-P	80	120	0,00		0	0	0	0	100.000
Palo 1	1	85		157,08	2.500	204365	109459	109459	58788	1.862
Palo 2	4	85		157,08	2.500	247671	89078	89078	45624	1.952

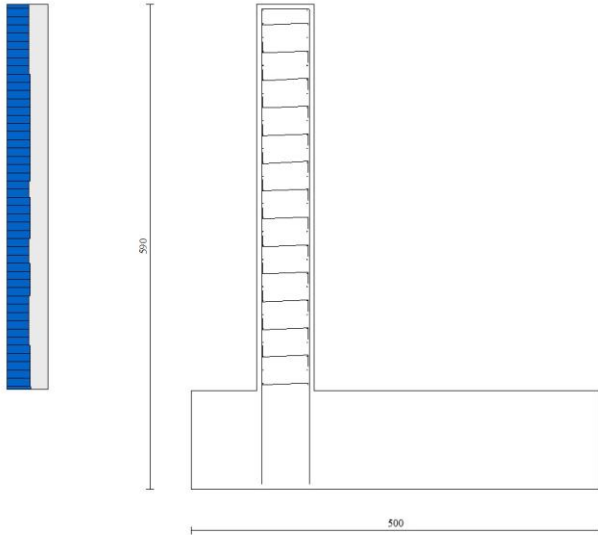


Fig. 12 - Paramento (Inviluppo)

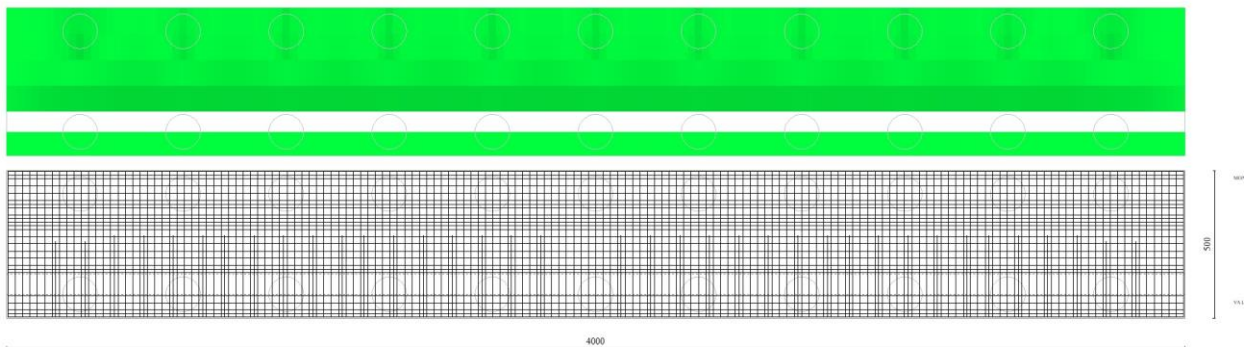


Fig. 13 - Piastra fondazione dir. X (Inviluppo)

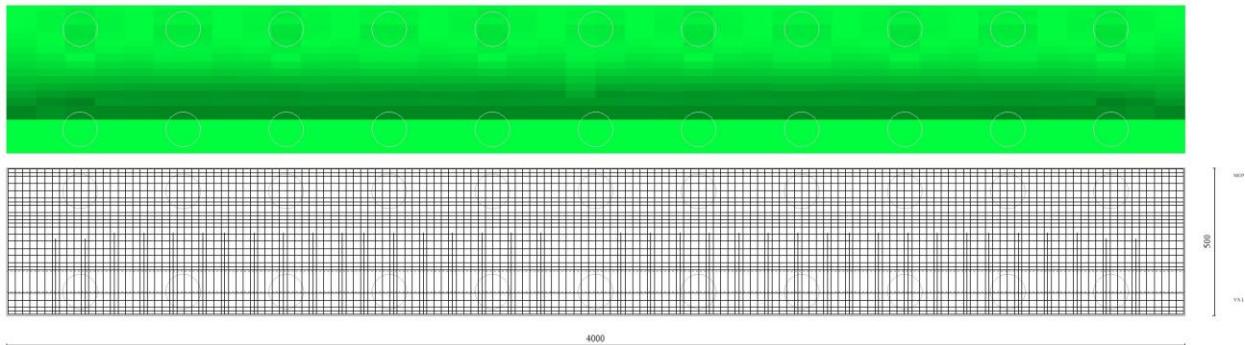


Fig. 14 - Piastra fondazione dir. Y (Inviluppo)

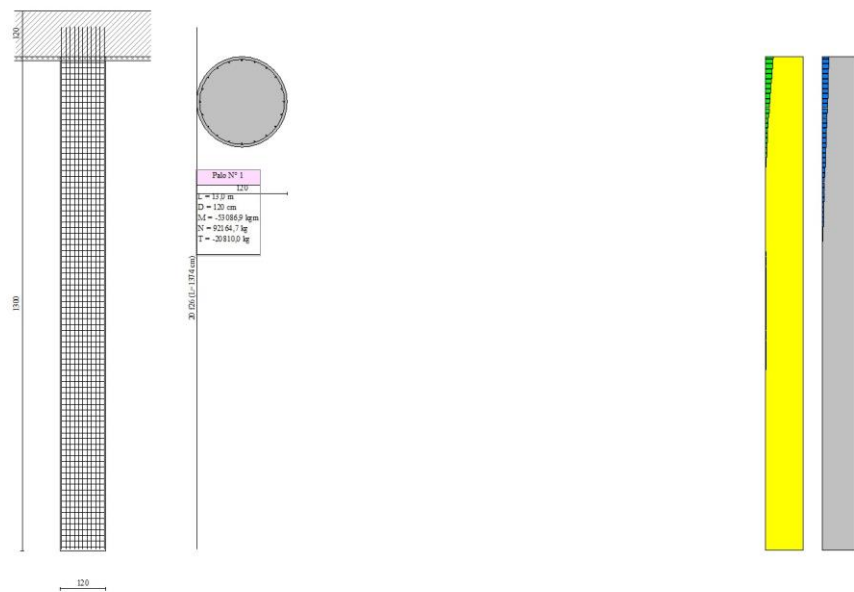


Fig. 15 - Pali (Palo n° 1) (Inviluppo)

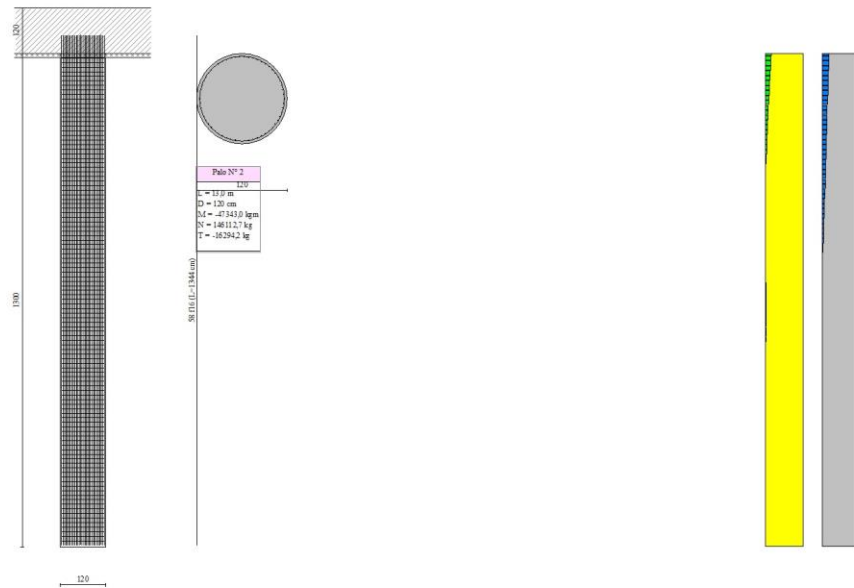


Fig. 16 - Pali (Palo n° 2) (Involuppo)

Verifica delle tensioni

Simbologia adottata

- n° indice sezione
- Y ordinata sezione, espressa in [m]
- B larghezza sezione, espresso in [cm]
- H altezza sezione, espressa in [cm]
- Afi area ferri inferiori, espresso in [cmq]
- Afs area ferri superiori, espressa in [cmq]
- M momento agente, espressa in [kgm]
- N sforzo normale agente, espressa in [kg]
- σ_c tensione di compressione nel cls, espressa in [kg/cmq]
- σ_i tensione nei ferri inferiori, espressa in [kg/cmq]
- σ_s tensione nei ferri superiori, espressa in [kg/cmq]

Combinazioni SLER

Oggetto	Is	B [cm]	H [cm]	Afi [cmq]	Afs [cmq]	σ_c [kg/cmq]	$\sigma_{c,lim}$ [kg/cmq]	σ_i [kg/cmq]	σ_s [kg/cmq]	$\sigma_{f,lim}$ [kg/cmq]
Paramento	48	100	70	21,24	42,47	14,27	203,12	284,69	164,67	3670,92
Piastra fondazione	6-11-P	87	120	15,71	15,71	19,18	203,12	231,81	1332,18	3670,92
Piastra fondazione	30-14-S	100	120	21,24	21,24	14,80	203,12	948,42	181,66	3670,92
Palo c.a. 1	1	120		106,19		30,49	203,12	414,97		3670,92
Palo c.a. 2	1	120		116,62		27,07	203,12	380,18		3670,92

Combinazioni SLEF

Oggetto	Is	B [cm]	H [cm]	Afi [cmq]	Afs [cmq]	σ_c [kg/cmq]	$\sigma_{c,lim}$ [kg/cmq]	σ_i [kg/cmq]	σ_s [kg/cmq]	$\sigma_{f,lim}$ [kg/cmq]
Paramento	48	100	70	21,24	42,47	13,11	338,54	253,45	152,16	4588,65
Piastra fondazione	6-11-P	87	120	15,71	15,71	18,73	338,54	226,41	1301,11	4588,65
Piastra fondazione	30-14-S	100	120	21,24	21,24	14,02	338,54	898,40	172,08	4588,65
Palo c.a. 1	1	120		106,19		27,73	338,54	379,25		4588,65
Palo c.a. 2	1	120		116,62		24,99	338,54	351,63		4588,65

Combinazioni SLEQ

Oggetto	Is	B [cm]	H [cm]	Afi [cmq]	Afs [cmq]	σ_c [kg/cmq]	$\sigma_{c,lim}$ [kg/cmq]	σ_i [kg/cmq]	σ_s [kg/cmq]	$\sigma_{f,lim}$ [kg/cmq]
Paramento	48	100	70	21,24	42,47	19,94	152,34	442,51	225,76	4588,65
Piastra fondazione	46-6-S	100	120	21,24	21,24	25,28	152,34	310,30	1620,06	4588,65
Piastra fondazione	23-14-S	100	120	21,24	21,24	16,61	152,34	1064,34	203,86	4588,65
Palo c.a. 1	1	120		106,19		0,00	152,34	0,00		4588,65
Palo c.a. 2	1	120		116,62		0,00	152,34	0,00		4588,65

Verifica a fessurazione

Simbologia adottata

n°	indice sezione
Y	ordinata sezione espressa in [m]
B	larghezza sezione espresso in [cm]
H	altezza sezione espressa in [cm]
Af	area ferri zona tesa espresso in [cmq]
Aeff	area efficace espressa in [cmq]
M	momento agente espressa in [kgm]
Mpf	momento di formazione/apertura fessure espressa in [kgm]
ε	deformazione espresso in %
Sm	spaziatura tra le fessure espressa in [mm]
w	apertura delle fessure espressa in [mm]

Combinazioni SLER

Oggetto	Is	B [cm]	H [cm]	Af [cmq]	Aeff [cmq]	M [kgm]	Mpf [kgm]	ε [%]	Sm [mm]	w [mm]	Wim [mm]
Paramento	48	100	70	42,47	1575,00	9522	42065	0.000000	0	0,000	0,400
Piastra fondazione	9-1-S	100	120	0,00	0,00	0	0	0.000000	0	0,000	0,400
Palo 1	29	120		26,55	1570,38	-617	80246	0.000000	0	0,000	100,000
Palo 2	31	120		28,15	1363,71	-207	89168	0.000000	0	0,000	100,000

Combinazioni SLEF

Oggetto	Is	B [cm]	H [cm]	Af [cmq]	Aeff [cmq]	M [kgm]	Mpf [kgm]	ε [%]	Sm [mm]	w [mm]	Wim [mm]
Paramento	48	100	70	42,47	1575,00	8711	42043	0.000000	0	0,000	0,400
Piastra fondazione	9-1-S	100	120	0,00	0,00	0	0	0.000000	0	0,000	0,400
Palo 1	30	120		26,55	1575,99	-20	80036	0.000000	0	0,000	0,400
Palo 2	30	120		28,15	1385,16	-850	88268	0.000000	0	0,000	0,400

Combinazioni SLEQ

Oggetto	Is	B [cm]	H [cm]	Af [cmq]	Aeff [cmq]	M [kgm]	Mpf [kgm]	ε [%]	Sm [mm]	w [mm]	Wim [mm]
Paramento	48	100	70	42,47	1575,00	13542	42153	0.000000	0	0,000	0,300
Piastra fondazione	9-1-S	100	120	0,00	0,00	0	0	0.000000	0	0,000	0,300
Palo 1	1	120		0,00	0,00	-69222	0	0.000000	0	-100,000	0,300
Palo 2	1	120		0,00	0,00	-61140	0	0.000000	0	-100,000	0,300

5. Dichiarazioni secondo N.T.C. 2018 (punto 10.2)

Analisi e verifiche svolte con l'ausilio di codici di calcolo

Il sottoscritto, in qualità di calcolatore delle opere in progetto, dichiara quanto segue.

Tipo di analisi svolta

L'analisi strutturale e le verifiche sono condotte con l'ausilio di un codice di calcolo automatico. La verifica della sicurezza degli elementi strutturali è stata valutata con i metodi della scienza delle costruzioni.

Il calcolo dei muri di sostegno viene eseguito secondo le seguenti fasi:

- Calcolo della spinta del terreno
- Verifica a ribaltamento
- Verifica a scorrimento del muro sul piano di posa
- Verifica della stabilità complesso fondazione terreno (carico limite)
- Verifica della stabilità globale
- Calcolo delle sollecitazioni sia del muro che della fondazione, progetto delle armature e relative verifiche dei materiali.
- Calcolo della portanza assiale e trasversale dei pali. Progetto e verifica delle armature dei pali inseriti.

L'analisi strutturale sotto le azioni sismiche è condotta con il metodo dell'analisi statica equivalente secondo le disposizioni del capitolo 7 del D.M. 17/01/2018.

La verifica delle sezioni degli elementi strutturali è eseguita con il metodo degli Stati Limite. Le combinazioni di carico adottate sono esaustive relativamente agli scenari di carico più gravosi cui l'opera sarà soggetta.

Origine e caratteristiche dei codici di calcolo

Titolo	MAX - Analisi e Calcolo Muri di Sostegno
Versione	16.0
Produttore	Aztec Informatica srl, Casali del Manco - loc. Casole Bruzio (CS)
Utente	TPS INGEGNERIA S.R.L.
Licenza	AIU6520C0

Affidabilità dei codici di calcolo

Un attento esame preliminare della documentazione a corredo del software ha consentito di valutarne l'affidabilità. La documentazione fornita dal produttore del software contiene un'esauriente descrizione delle basi teoriche, degli algoritmi impiegati e l'individuazione dei campi d'impiego. La società produttrice Aztec Informatica srl ha verificato l'affidabilità e la robustezza del codice di calcolo attraverso un numero significativo di casi prova in cui i risultati dell'analisi numerica sono stati confrontati con soluzioni teoriche.

Modalità di presentazione dei risultati

La relazione di calcolo strutturale presenta i dati di calcolo tale da garantirne la leggibilità, la corretta interpretazione e la riproducibilità. La relazione di calcolo illustra in modo esaustivo i dati in ingresso ed i risultati delle analisi in forma tabellare.

Informazioni generali sull'elaborazione

Il software prevede una serie di controlli automatici che consentono l'individuazione di errori di modellazione, di non rispetto di limitazioni geometriche e di armatura e di presenza di elementi non verificati. Il codice di calcolo consente di visualizzare e controllare, sia in forma grafica che tabellare, i dati del modello strutturale, in modo da avere una visione consapevole del comportamento corretto del modello strutturale.

Giudizio motivato di accettabilità dei risultati

I risultati delle elaborazioni sono stati sottoposti a controlli dal sottoscritto utente del software. Tale valutazione ha compreso il confronto con i risultati di semplici calcoli, eseguiti con metodi tradizionali. Inoltre sulla base di considerazioni riguardanti gli stati tensionali e deformativi determinati, si è valutata la validità delle scelte operate in sede di schematizzazione e di modellazione della struttura e delle azioni.

In base a quanto sopra, io sottoscritto asserisco che l'elaborazione è corretta ed idonea al caso specifico, pertanto i risultati di calcolo sono da ritenersi validi ed accettabili.

Luogo e data

Il progettista
()
